

三軸圧縮・伸張条件下の砂と粘土の強度について。

名古屋工業大学 正員 中井照夫, 松岡元
 // 学生員 鈴木好実, 野村幸宣

従来より、三軸圧縮・伸張条件下の砂および粘土の変形・強度特性については多くの報告がなされているが、試験方法、試料作成方法等によってその結果は様々である。ここでは、圧縮および伸張条件下の強度(破壊時の主応力比)は材料が等方的であれば砂・粘土にかかわらず同じであることを実験的に検証し、さらに異方性試料の両者の強度差についても考察する。また空洞滑動面(SMP)に基づいた応力比～ヒスミ増分比関係²⁾では応力状態や試料の初期構造にかかわらずユニークに整理できることを検証する。

1. 実験方法

実験は砂として豊浦標準砂、粘として粉末練り返し再び密粘性土(藤の森粘土, LL=94.7%, PL=24.7%)を用い、平均主応力一定(砂: $\sigma_m = 4.0 \text{ kgf/cm}^2$, 粘土: $\sigma_m = 2.0 \text{ kgf/cm}^2$)のもとで排水条件である。

[砂] 試料はその初期固めきり比がすべて $e_0 \approx 0.68$ になるように、ゴム膜を密着させたモールド内で砂を締め固め作成した。(試料高さ 12.2 cm, 直径 5 cm)。そして締め固め方法を変えることにより、等方性試料および異方性試料を作っている。

(a). P 試料: 梱で突く(plumming)ことにより構造を乱しながら S 作成した等方性試料。

(b). T 試料: モールドの側壁を連打(Tapping)しながら作成した試料で、土粒子の長軸方向が水平方向に配向した異方性試料。

なお、この P 試料の等方性および T 試料の異方性については、等方圧縮試験により検証している。また実験に際しては、供試体の端面摩擦はシリコングリースとラバーで除去し、メンブレンの貫入による排水量の補正を行なっている。

[粘土] 試料は練り返した粘土を直角応力 0.5 kgf/cm²のもとで K。圧密したものと直徑 3.5 cm, 高さ 8 cm の円筒形に形成することにより作成した。実験に際してはゴム膜、口紙の張力の影響を除去するため、厚さ 0.03 cm のゴム膜を用い、側方の排水用口紙は巻かずして試料の上下端面からのみ排水を許した。また軸ヒスミ速度 $\dot{\epsilon}_a$ は固めきり水圧の発生および試料の時間効果の影響をなくすため、 $\dot{\epsilon}_a = 0.8\%/\text{day}$ (0.63 mm/day) とし、体積ヒスミの測定ではビニールト内での水の蓄積量をダミービニールトにより補正している。

2. 実験結果と考察

[砂] 図-1 は豊浦砂の平均主応力一定試験結果を空洞滑動面(SMP)上の応力比(C_{sp}/t_{sp})と SMP に基づくヒスミ増分比

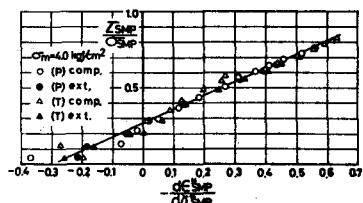


図-1 砂の等方性試料および異方性試料の C_{sp}/t_{sp} ～ ϵ_a 関係

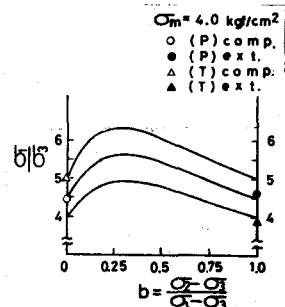


図-2 砂の等方性試料および異方性試料の破壊強度

$(d\epsilon_{SMP}^*/d\sigma_{SMP})$ 因子で整理したものである。同図より、すべての試験結果がユニークに整理されるのが見られ、SMPに基づいた基本関係式 ($\sigma_{SMP}/\epsilon_{SMP} = \lambda^* (-d\epsilon_{SMP}^*/d\sigma_{SMP}) + \mu^* \dots (1)$) が応力条件や試料の初期構造にいかわらず成立することを示している。図-2は等方性試料および異方性試料の破壊強度を主応力比 (σ_1/σ_3) と b 値 ($b = (\sigma_2 - \sigma_3)/(\sigma_1 - \sigma_3)$ …(3)) の関係で示したものである。ここに $b = 0$ は三軸圧縮条件を $b = 1.0$ は三軸伸張条件を表わしている。同図より、等方性試料では三軸圧縮・伸張にいかわらず破壊時の主応力比は約 4.5 であるが、水平方向に配向した異方性試料では初期拘束比がほぼ同じであるにもかかわらず、圧縮強度が伸張強度に比べかなり大きくなる。なお、図中の実線は SMP に基づいた等方性試料の破壊規準 ($J_1 \cdot J_2/J_3 = \text{const.}$, J_1, J_2, J_3 : 応力の不变量 …(3)) を表わしている。

図-3 は異方性試料の三軸圧縮・伸張時の応力端面(SMP)と土粒子の配向性を模式的に示したものである。図に見られるように、3 次元空間内で平均的な土粒子の滑動面と考えられる SMP と堆積面のなす角が、三軸圧縮条件では伸張条件に比べ大きくなるため土粒子間のかみ合いが大きくなり強度が増加するといえよう。

【粘土】 図-4 は粘土の平均主応力一定試験結果を $\sigma_{SMP}/\epsilon_{SMP} \sim d\epsilon_{SMP}^*/d\sigma_{SMP}$ 関係で整理したものであるが、粘土の場合も砂と同様、圧縮・伸張にいかわらずユニークに整理され、(1) 式の妥当性を示している。図-5, 6 は三軸圧縮・伸張時の主応力比 (σ_1/σ_3) ~ 最大主ヒスミ (E_1) ~ 体積ヒスミ (E_v) 関係の実測値 (プロット) と計算曲線 (参考文献 2 参照) を示している。図-5, 6 より粘土の場合も圧縮および伸張強度が共に主応力比で約 3.5 であり強度差はほとんどない。なお、この試料の鉛直方向に切り出した試料と水平方向に切り出した試料の変形および強度の差はほとんどなく、たのではほとんどの試料と考えられる。ところで、従来のように口紙を巻いた側方排水による試験では、圧縮強度は口紙のない場合と差がないが、伸張強度はたとえ口紙をらせん状に巻いても口紙の張力の影響を受け、大きく出るようである。したがって、通常粘土の伸張強度が圧縮強度に比べ大きいとよくいわれているのは、試験方法等に問題があるのではないかと考えられる。

謝辞 砂の三軸試験に協力していただいた元名工大土質研究室 中島卓・山内健君に感謝致します。
参考文献

- 1) Matsuoka・Nakai: Stress-Strain Relationship of Soil Based on the SMP, Paper in Specialty Session 9 of ICSMFE pp.153-162 (1977)
- 2) 中井・松岡・中島・山内: 応力端面に基づいた土の応力ヒスミ関係, 第13回国土工学研究発表会(1978)

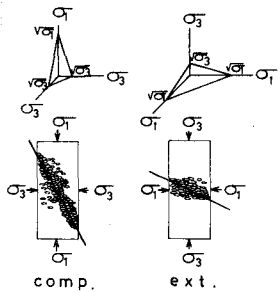


図-2 実方性試料の三軸圧縮・伸張時の SMP × 粒子構造

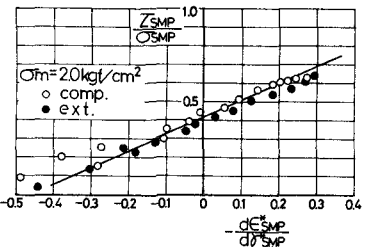


図-4 粘土の $\sigma_{SMP}/\epsilon_{SMP} \sim d\epsilon_{SMP}^*/d\sigma_{SMP}$ 関係

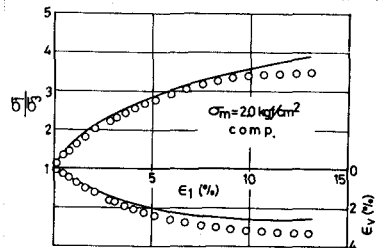


図-5 三軸圧縮条件下の粘土の主応力比～主ヒスミ関係

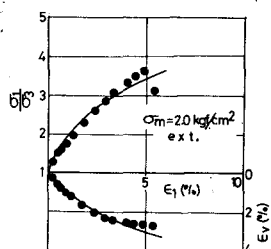


図-6 三軸伸張条件下の粘土の主応力比～主ヒスミ関係